

信号与系统 Cheat Sheet

1 概念 & 时域分析

1.1 欧拉公式

$$e^{jx} = \cos x + j \sin x \implies \begin{cases} \cos x = \frac{1}{2}(e^{jx} + e^{-jx}) \\ \sin x = \frac{1}{2j}(e^{jx} - e^{-jx}) \end{cases}$$

1.2 冲激函数

加权 $f(t)\delta(t-t_0) = f(t_0)\delta(t-t_0)$

抽样 $\int_{-\infty}^{+\infty} f(t)\delta(t-t_0)dt = f(t_0)$

尺度 $\delta(at) = \frac{1}{|a|}\delta(t)$

1.3 卷积

$$\int_{-\infty}^{+\infty} f(\tau)h(t-\tau)d\tau \sum_{k=-\infty}^{+\infty} f[k]h[n-k]$$

矩形波: 上底 宽-窄, 下底 宽+窄, 高为窄门面积乘以宽门的高

$f(t) * u(t) = \int_{-\infty}^t f(\tau)d\tau$; $f(t) * \delta(t) = f(t)$;

$f(t) * \delta'(t) = f'(t)$

1.4 系统

因果 输出只和当前输入与之前的输入有关

稳定 有界输入产生有界输出

时不变 输入发生时移, 输出发生同样时移

增量线性 零状态与输入成线性; 零输入与零状态成线性。

2 CFT

$$\mathcal{F}[f(t)] = \int_{-\infty}^{+\infty} f(t)e^{-j\omega t} dt$$

$$\mathcal{F}^{-1}[F(\omega)] = \frac{1}{2\pi} \int_{-\infty}^{+\infty} F(\omega)e^{j\omega t} d\omega$$

2.1 FT 常用变换对

$$e^{at}u(t) \longleftrightarrow \frac{1}{a+j\omega}$$

$$e^{-a|t|} \longleftrightarrow \frac{2a}{a^2 + \omega^2}$$

$$\text{sgn}(t) \longleftrightarrow \frac{1}{j\omega}$$

$$u(t) \longleftrightarrow \pi\delta(\omega) + \frac{1}{j\omega}$$

$$\delta(t) \longleftrightarrow 1$$

$$1 \longleftrightarrow 2\pi\delta(\omega)$$

$$\delta'(t) \longleftrightarrow j\omega$$

矩形 $Eu\left(t - \frac{\tau}{2}\right) \sim \longleftrightarrow E\tau \text{Sa}\left(\frac{\omega\tau}{2}\right)$

三角 $E\left(1 - \frac{2|t|}{\tau}\right) \longleftrightarrow \frac{E\tau}{2} \text{Sa}^2\left(\frac{\omega\tau}{4}\right)$

升余弦 $\frac{E}{2}\left[1 + \cos\frac{\omega\tau}{2}\right] \longleftrightarrow \frac{E\tau}{2} \cdot \frac{\text{Sa}\left(\frac{\omega\tau}{2}\right)}{1 - \left(\frac{\omega\tau}{2\pi}\right)^2}$

高斯 $Ee^{-\left(\frac{t}{\tau}\right)^2} \longleftrightarrow \sqrt{\pi}E\tau e^{-\left(\frac{\omega\tau}{2}\right)^2}$

2.2 FT 性质

线性 $\sum_{i=1}^n a_i f_i(t) \leftrightarrow \sum_{i=1}^n a_i F_i(\omega)$

奇偶虚实

比例 $f(at) \leftrightarrow \frac{1}{|a|}F\left(\frac{\omega}{a}\right)$

时移 $f(t-t_0) \leftrightarrow F(\omega)e^{-j\omega t_0}$

幅度谱不变, 相位谱线性增加

频移 $f(t)e^{j\omega_0 t} \leftrightarrow F(\omega - \omega_0)$

微分 $\left(\frac{d}{dt}\right)^n f(t) \leftrightarrow (j\omega)^n F(\omega)$

$(-jt)^n f(t) \leftrightarrow \left(\frac{d}{d\omega}\right)^n F(\omega)$

积分 $\int_{-\infty}^t f(\tau)d\tau \leftrightarrow \frac{F(\omega)}{j\omega} + \pi F(0)\delta(\omega)$

$F(0)$ 对应直流分量

有限时宽: $\int_{-\infty}^{+\infty} f^{(n)}(t)dt = 0$

卷积 $f_1(t) * f_2(t) \longleftrightarrow F_1(\omega)F_2(\omega)$

$f_1(t)f_2(t) \longleftrightarrow \frac{1}{2\pi}F_1(\omega) * F_2(\omega)$

对偶 $F(t) \longleftrightarrow 2\pi f(-\omega)$

帕斯瓦尔 能量守恒, $\|X(\omega)\|^2$ 为能量密度谱

$\int_{-\infty}^{+\infty} \|x(t)\|^2 dt = \frac{1}{2\pi} \int_{-\infty}^{+\infty} \|X(\omega)\|^2 d\omega$

2.3 周期信号 FT

正弦弦 $\cos\omega_1 t \leftrightarrow \pi[\delta(\omega + \omega_1) + \delta(\omega - \omega_1)]$

$\sin\omega_1 t \leftrightarrow j\pi[\delta(\omega + \omega_1) - \delta(\omega - \omega_1)]$

一般 $f(t) \leftrightarrow \frac{2\pi}{T_1} \sum_{n=-\infty}^{+\infty} F_0(\omega)\delta(\omega - n\omega_1)$

2.4 讨论

光滑: $|F(\omega)|$ 与 ω^n 成反比, 则 $n-1$ 阶导不连续。

矩形: 三角, 余弦全波整流; 升余弦

频谱长度: 多项式-指数-有限长, 逐渐增加。

希尔伯特: 相移器, 虚实满足, 则因果。

信号面积: $F(0)$

结构信息: 相位谱

3 应用

3.1 调制

正弦 $\cos\omega_c t$, $Y(\omega) = \frac{1}{2}[F(\omega + \omega_c) + F(\omega - \omega_c)]$

判断重叠: $\omega_c > \omega_m$

复指数 $e^{j\omega_c t}$, $Y(\omega) = F(\omega - \omega_c)$

解调 再乘 $\cos\omega_c t$, 低通滤波, 逆变换。

$\omega_m < B < 2\omega_c - \omega_m$

3.2 采样

周期延拓。

理想 $\delta_T(t) = \sum_{n=-\infty}^{+\infty} \delta(t - nT_s)$

$F_s(\omega) = \frac{1}{2\pi} f(t) * \mathcal{F}[\delta_T(t)] = \frac{1}{T_s} \sum_{n=-\infty}^{+\infty} F(\omega - n\omega_s)$

矩形 $P(\omega) = 2\pi \sum_{n=-\infty}^{+\infty} \frac{E\tau}{T_s} \text{Sa}\left(\frac{n\omega_s\tau}{2}\right)\delta(\omega - n\omega_s)$

$F_s(\omega) = \frac{E\tau}{T_s} \sum_{n=-\infty}^{+\infty} \text{Sa}\left(\frac{n\omega_s\tau}{2}\right)F(\omega - n\omega_s)$

不混叠, $f_s > 2f_m$, f_m 为奈奎斯特频率

4 LT 和 ZT

$$F(s) = \mathcal{L}[f(t)] = \int_{-\infty}^{+\infty} f(t)e^{-st} dt$$

$$f(t) = \frac{1}{2\pi j} \int_{\sigma-j\infty}^{\sigma+j\infty} F(s)e^{st} ds$$

4.1 LT 常用变换对

$$u(t) \longleftrightarrow \frac{1}{s}$$

$$t \longleftrightarrow \frac{1}{s^2}$$

$$t^n \longleftrightarrow \frac{n!}{s^{n+1}}$$

$$t^{-\alpha t} \longleftrightarrow \frac{1}{s+\alpha}$$

$$te^{-\alpha t} \longleftrightarrow \frac{1}{(s+\alpha)^2}$$

$$t^n e^{-\alpha t} \longleftrightarrow \frac{(-1)^n n!}{(s+\alpha)^{n+1}}$$

$$\sin\omega t \longleftrightarrow \frac{\omega}{s^2 + \omega^2}$$

$$\cos\omega t \longleftrightarrow \frac{s}{s^2 + \omega^2}$$

$$\delta(t) \longleftrightarrow 1$$

$$\delta(t-t_0) \longleftrightarrow e^{-st_0}$$

$$\delta'(t) \longleftrightarrow s$$

$$e^{-\alpha t} \sin\omega t \longleftrightarrow \frac{\omega}{(s+\alpha)^2 + \omega^2}$$

4.2 收敛域

1. 有始有终, 能量有限 (单脉冲): 整个 s 平面

2. 周期/直流: $\sigma_0 = 0$, 稍微衰减一下就行

3. $f(t) = t^n$: $\sigma_0 = 0$, 指数增长速度

4. e^{at} : $\sigma_0 = a$

5. e^{t^2} 等: 无限时间范围不存在 LT

4.3 LT 性质

该部分讨论单边 0- 系统拉普拉斯变换

线性 $ax(t) + by(t) \leftrightarrow aX(s) + bY(s)$

比例变换 $f(at) \leftrightarrow \frac{1}{a}F\left(\frac{s}{a}\right)$

时移 $f(t-t_0)u(t-t_0) \leftrightarrow e^{-st_0}F(s)$

频移 $f(t)e^{-at} \leftrightarrow F(s+a)$

微分 $\frac{df(t)}{dt} \leftrightarrow sF(s) - f(0)$, $-tf(t) \leftrightarrow F'(s)$

其中 $f(0) = f(0_-)$, 不连续时会出现 $\delta(t)$

$f^{(n)}(t) \leftrightarrow s^n F(s) - s^{n-1}f(0_-) - \dots - f^{(n-1)}(0_-)$

$-tf(t) \leftrightarrow F'(s)$

积分 $\int_{-\infty}^t f(\tau)d\tau \leftrightarrow \frac{F(s)}{s} + \frac{f^{(-1)}(0)}{s}$

$\frac{f(t)}{t} \leftrightarrow \int_s^\infty F(s)ds$

其中 $f^{(-1)}(0) = \int_{-\infty}^0 f(\tau)d\tau$

卷积 $x(t) * y(t) \leftrightarrow X(s)Y(s)$ 因果信号

$x(t)y(t) \leftrightarrow \frac{1}{2\pi j}[X(s) * Y(s)]$

$= \frac{1}{2\pi j} \int_{\sigma-j\infty}^{\sigma+j\infty} X(p)Y(s-p)dp$

4.4 周期信号 LT

$$x(t) = x_1(t) * \sum_{n=0}^{+\infty} \delta(t - nT) \leftrightarrow \frac{X_1(s)}{1 - e^{-sT}}$$

4.5 LT 初值终值

要求: $f(t)$ 因果信号, $t=0$ 无跳变

初值 $\lim_{t \rightarrow 0+} f(t) = f(0_+) = \lim_{s \rightarrow \infty} sF(s)$

要求 $F(s)$ 为真分式, 含 e^{-s} 的用时移搞掉。

终值 $\lim_{t \rightarrow \infty} f(t) = \lim_{s \rightarrow 0} sF(s)$

要求极点全在左半平面, 或仅有一阶 $p=0$

$$X(z) = \mathcal{Z}[x[n]] = \sum_{n=-\infty}^{\infty} x[n]z^{-n}$$

$$x[z] = \frac{1}{2\pi j} \oint_C X(z)z^{n-1} dz$$

4.6 ZT 常用变换对

$$u[n] \longleftrightarrow \frac{z}{z-1}$$

$$a^n \longleftrightarrow \frac{z}{z-a}$$

$$n \longleftrightarrow \frac{z}{(z-1)^2}$$

$$(n+1)a^n \longleftrightarrow \frac{z^2}{z-a}$$

$$(n)a^{n-1} \longleftrightarrow \frac{z}{(z-a)^2}$$

$$\delta[n] \longleftrightarrow 1$$

$$\cos(\omega_0 n) \longleftrightarrow \frac{z \sin \omega_0}{z^2 - 2z \cos \omega_0 + 1}$$

$$\sin(\omega_0 n) \longleftrightarrow \frac{z(z - \cos \omega_0)}{z^2 - 2z \cos \omega_0 + 1}$$

4.7 ZT 性质

线性

$$ax[n] + by[n] \leftrightarrow aX(z) + bY(z)$$

收敛域取交集; 可能出现收敛边界处零点极点

对消, 扩大收敛域

移位

$$x[n-m] \leftrightarrow z^{-m}X(z)$$

收敛域不变。单边: $\mathcal{Z}[x[n-m]u[n]]$

$$x[n-1] = z^{-1}X(z) + x[-1],$$

$$x[n-2] = z^{-2}X(z) + z^{-1}x[-1] + z^{-2}x[-2]$$

指数加权/z 域比例

$$a^n x[n] \leftrightarrow X\left(\frac{z}{a}\right)$$

收敛域比例扩大 $R_{x-} < \left\|\frac{z}{a}\right\| < R_{x+}$

$$a^{-n}x[n] \leftrightarrow (-1)^n x[n] \leftrightarrow X(-z)$$

反褶

$$x[-n] \leftrightarrow X\left(\frac{1}{z}\right)$$

收敛域取倒数

补零扩展

$$x_{(k)}[n] \leftrightarrow X(z^k) \quad x_{(k)}[n] = \begin{cases} x[n/k], & n \in \mathbb{Z} \\ 0, & \text{else} \end{cases}$$

收敛域开方, 会整出 k 个极点

$$\sqrt[k]{R_{x-}} < \|z\| < \sqrt[k]{R_{x+}}$$

微分

$$nx[n] \leftrightarrow -z \frac{d}{dz} X(z)$$

收敛域不变

共轭

$$x^*[n] \leftrightarrow X^*(z^*)$$

收敛域不变

时域卷积

$$x[n] * y[n] \leftrightarrow X(z)Y(z)$$

收敛域取交集

$$\max(R_{x-}, R_{y-}) < \|z\| < \min(R_{x+}, R_{y+})$$

z 域卷积

$$x[n]y[n] \leftrightarrow \frac{1}{2\pi j} \oint_C X(v)Y\left(\frac{z}{v}\right)v^{-1} dv$$

收敛域相乘 $R_{x-}R_{y-} < \|z\| < R_{x+}R_{y+}$

差分

$$x[n] - x[n-1] \longleftrightarrow (1 - z^{-1})X(z)$$

收敛域不变

累加 $\sum_{m=-\infty}^n x[m] \longleftrightarrow \frac{1}{1-z^{-1}}X(z)$

4.8 ZT 初值终值

$x[n]$ 因果序列

初值 $x[0] = \lim_{n \rightarrow \infty} X(z)$ 广义: $x[m] =$

终值 $\lim_{n \rightarrow \infty} x[n] = \lim_{z \rightarrow 1} [(z-1)X(z)]$

要求极点都在单位圆内 (可以有 $z=1$)

4.9 部分分式

$$A_0 = X(0), A_1 = \left[(z - z_m) \frac{X(z)}{z} \right]_{z=z_m}$$

$$B_1 = \left[(z - z_m)^3 \frac{X(z)}{z} \right]_{z=z_m} = \frac{B_1}{(z - z_m)^3}$$

$$B_2 = \left\{ \frac{d}{dz} \left[(z - z_m)^3 \frac{X(z)}{z} \right] \right\}_{z=z_m}$$

$$B_3 = \frac{1}{2!} \left\{ \frac{d^2}{dz^2} \left[(z - z_m)^3 \frac{X(z)}{z} \right] \right\}_{z=z_m} \quad X(s) \text{ 不用除 } z$$

4.9.1 留数

$x[n] = X(z)z^{n-1}$ 在围线 C 内所有极点的留数和

$$\text{Res}[X(z)z^{n-1}]_{z=z_m} = [(z - z_m)X(z)z^{n-1}]_{z=z_m}$$

$$s \text{ 阶} = \frac{1}{(s-1)!} \left\{ \frac{d^{s-1}}{dz^{s-1}} [(z - z_m)^s X(z)z^{n-1}] \right\}_{z=z_m}$$

$X(s)$ 围线是 $\sigma \pm j\infty$ 及左边无限大圆弧

4.9.2 长除法

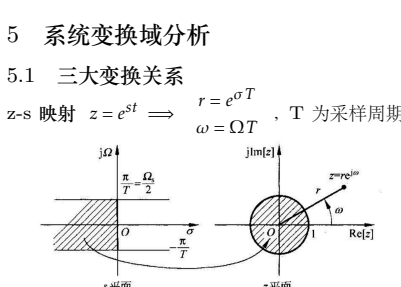
右边序列 - z 降幂

5 系统变换域分析

5.1 三大变换关系

z - s 映射 $z = e^{st} \implies r = e^{\sigma T}$, T 为采样周期

$$\omega = \Omega T$$

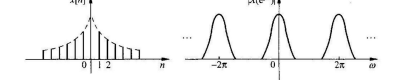


DTFT 单位圆上的 Z 变换

$$\mathcal{F}[x[n]] = X(e^{j\omega}) = \sum_{n=-\infty}^{+\infty} x[n]e^{-jn\omega}$$

$$x[n] = \frac{1}{2\pi} \int_{-\pi}^{\pi} X(e^{j\omega})e^{jn\omega} d\omega$$

$$\{1, 2, 3, 4, 5, 6, 7\}, N=5, \{7, 9, 3, 4, 5\}$$



5.2 系统函数

$H(z) = \frac{Y(z)}{X(z)}$ $h[n] \leftrightarrow H(z)$

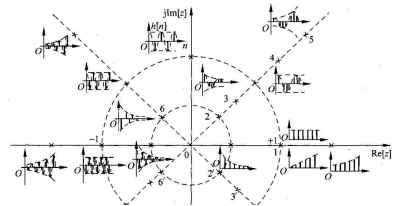
$h(t) h[n]$	$H(s)$ 极点	$H(z)$ 极点
衰减	左半平面	单位圆内
阶跃	原点	单位圆实轴交点
等幅震荡	虚轴, 共轭	单位圆上, 共轭
增长	右半平面	单位圆外
直流	实轴	正实轴

稳定系统: 收敛域包含单位圆/虚轴

离散因果: $z = \infty$ 收敛 (分子阶 \leq 分母阶)

连续因果: $-\infty$ 收敛, 因果因果稳定: 极点全在单位圆内/左半平面

$h(t)$	$H(s)$ 极点	$H(z)$ 极点	稳定性
衰减	左半平面	单位圆内	稳定
增长	右半平面	单位圆外	不稳定
增长	虚轴上多重极点	单位圆上多重	不稳定
等幅震荡	虚轴, 共轭	单位圆上共轭	临界
阶跃	零点	单位圆实轴交点	临界



靠近原点振幅下降; 向 π 运动频率上升。

5.3 频率响应

$x[n] = e^{j\omega_0 n}$, $y[n] = x[n]H(e^{j\omega_0})$, H 的 DTFT $H(e^{j\omega_0}) = \|H(e^{j\omega_0})\|e^{j\varphi(\omega_0)}$, 增益 + 相移

几何确定 $\left| \frac{H(e^{j\omega})}{K} \right| = \frac{\prod |Z_i|}{\prod |P_i|}$ = 零矢量模乘积 / 极矢量模乘积

$\varphi(\omega) = \sum \alpha_{z_j} - \sum \beta_{p_i}$ = 零矢幅角和 - 极矢幅角和

离散 矢量终点 $A: e^{j\omega}$, 因此绕单位圆一周即可给出频响。(周期函数, $T = 2\pi$)

连续 $H(j\Omega)$, 矢量终点 A 从零点开始沿虚轴运动。 $0 \leq \Omega < \infty$

5.4 相频特性

单位圆内的零点, 每转一圈, $\Delta\varphi(\omega) = 2\pi$

单位圆外的零点, 每转一圈, $\Delta\varphi(\omega) = 0$

最小相位: 唯一。 M 零点, 2^M 个同幅频特性。

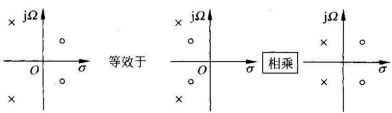
全通 $H_{ap}(z) = \frac{z^{-1} - z_0^*}{1 - z_0 z^{-1}}$

连续: 零极点分别位于虚轴左右, 关于虚轴对称

最小相位 单位圆外/右半平面无零点

每个周期内相频特性变化为零; 可以和全通系统级联表示非最小相位系统; 可逆; 无负调现象。

因果最小相位 加上极点全在单位圆/左半平面



6 FFT

6.1 DFT

$DFS[x[n]] = \tilde{X}[k] = \sum_{n=0}^{N-1} \tilde{x}[n]W^{nk}$
 $IDFS[\tilde{X}[k]] = \tilde{x}[n] = \frac{1}{N} \sum_{k=0}^{N-1} \tilde{X}[k]W^{-nk}$

$DFT[x[n]] = X[k] = \sum_{n=0}^{N-1} x[n]W^{nk}, 0 \leq k \leq N-1$

$IDFT[X[k]] = x[n] = \frac{1}{N} \sum_{k=0}^{N-1} X[k]W^{-nk}$

$W_N = W = e^{-j\frac{2\pi}{N}}$

矩阵序列: $R_N[n] = 1, n \in [0, N-1]$

数据采样参数

采样时间间隔: $T_s = \frac{1}{f_s} < \frac{1}{2f_{\max}}$

采样总时间: 频率分辨率 $f_1, T_1 \geq \frac{1}{f_1}$

采样数据点: $N = \frac{T_1}{T_s}$, 向上取到 2^n

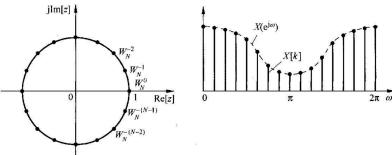


图 7.13 离散傅里叶变换与 Z 变换

6.2 圆卷积

$x[n](N)y[n] = \sum_{m=0}^{N-1} x[m]y[(n-m)_N]R_N[n]$

取反, 取主值, 相乘, 叠加。

需要序列长度相等, 补零。

1	2	3	4	5	0	0
5	0	0	4	3	2	1
4	5	0	0	3	2	1

圆卷积 = 线卷积: 都补零到 $L = N + M - 1$

6.3 DFT 性质

线性 $ax[n] + by[n] \leftrightarrow aX[k] + bY[k]$

圆移位 $x[(n-m)_N]R_N[n] \leftrightarrow W^{mk}X[k]$

$x[n] \rightarrow x[(n-m)_N]R_N[n]$ 右移 m

频域圆移位 $W^{nl}x[n] \leftrightarrow X[(k+l)_N]R_N[k]$

频域圆卷积 $Y[k] = \frac{1}{N}X[k](N)H[k]$

$x(n)$	$X(k)$	$x(n)$	$X(k)$
实函数	实部为偶、虚部为奇	虚函数	实部为奇、虚部为偶
实偶函数	实偶函数	虚偶函数	虚偶函数
实奇函数	虚奇函数	虚奇函数	实奇函数

6.4 FFT

DFT: 每计算一个 $X[k]$, 需要 N 次复数乘法和 $N-1$ 次复数加法; 需要算 N 个。

FFT: 复数乘法: $\frac{N}{2} \cdot \log_2 N$

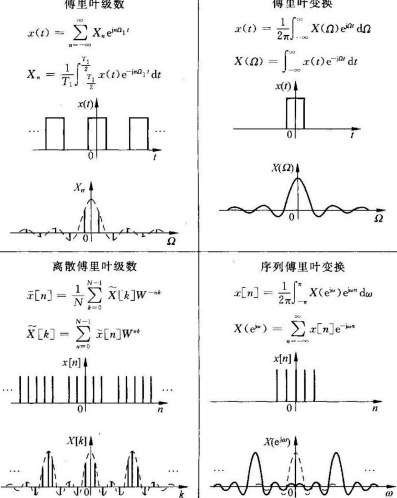
复数加法: $N \cdot \log_2 N$

6.5 快速卷积

线: $M \times N; (M-1)(N-1)$

FFT: $L \geq M + N - 1$, 取 2^n

$3 \times \frac{L}{2} \log_2 L + L; 3 \times L \log_2 L$



7 滤波器

离散 $\|H(e^{j\omega})\|$ 偶函数 $T = 2\pi$, 类型看 $[0, \pi]$

可实现性: $\int_{-\infty}^{+\infty} |h(j\Omega)|^2 < \infty$

7.1 IIR 设计

框图: $H(z)$ 上面是输入, 下面是输出

脉冲响应不变: 拉普拉斯反变化后采样, 随后 z 变换 $H(s) \rightarrow h(t) \rightarrow h[n] \rightarrow H(z)$

适用部分分式。由于混叠, 不适用高通。

$\frac{1}{s-p_k} \rightarrow \frac{1}{1-e^{p_k T} z^{-1}}$

双线性: 令 $s = \frac{2}{T} \cdot \frac{1-z^{-1}}{1+z^{-1}}$

7.2 FIR 设计

通带频率 ω_p , 截止频率 ω_s 阻带衰减比率 AdB

归一化频率: $\Omega = \frac{2\pi\omega}{\omega_s}$, 其中 ω_s 为采样频率

(1) 选择理想低通滤波器的带宽: $\Omega_1 = \frac{\Omega_s + \Omega_p}{2}$

(2) 根据衰减比率选择合适的加窗窗口;

(3) 根据过渡带 $\Omega_2 = \Omega_p - \Omega_s$ 确定滤波器的长度: $N = \frac{2\pi}{\Omega_2} \times R_w$, 其中 R_w 是加窗对应的过渡带宽度系数;

(4) $h_d(n) = \frac{\sin[\Omega_1(n-a)]}{\pi(n-a)} \cdot W[n]$

其中 $a = N/2$, $W[n]$ 是窗口函数

8 总结

这一学期的课程让我收获良多。但由于参与了 2022 北京冬奥会及冬残奥会, 我在 4 月 6 日才解除隔离返回学校。赛事服务期间的课程由于时间可能会产生冲突, 我都是利用学堂在线的 MOOC 课程进行学习的。在学习过程中, 我感觉 MOOC 的内容编排上提前介绍的内容太多, 不是很“循序渐进”。比如第一章的系统分类, 一下子摆出了所有的分类类型, 一时间信息量有些过于庞大。我认为郑教授的书的处理方法会比较适合自学, 第一章先介绍一小部分系统分类, 剩下的留到第二章线性时不变系统的时候统一介绍。或许 MOOC 因为回放方便的特性, 会被认为比较适合在短时间内讲述结构性强, 知识密度高的内容, 但我认为 MOOC 另一个重要的方面是方便同学们进行自学, 也有必要考虑知识点引入的循序渐进。以上是我关于 MOOC 课程的一些小想法。

另外由于 4 月 6 日前未能参与课堂教学环节 (有学校的假条), 还得麻烦卓大大留意一下我的课堂参与分数。我也会在考试后单独联系您, 看看怎么处理这一部分分数~

Copyright © 2022 陈辰

自 04 班 2020011633

chen-che20@mails.tsinghua.edu.cn

CalaW/SignalsAndSystem-CheetSheet

